

# 2-甲氧基雌二醇逆转 K562/AO2 细胞耐药及其机制的初步研究

王晓宁, 张梅

**Mechanism of 2-methoxyestradiol Reversing Multidrug Resistance of K562/AO2 Cells**

WANG Xiao-ning, ZHANG Mei

Department of Hematology, The First Affiliated Hospital of Xi'an Jiaotong University, Xi'an 710061, China

**Abstract:** Objective To investigate the possible mechanism of 2-methoxyestradiol reversing multidrug resistance of K562/AO2 cells. Methods The inhibitory effects of 2-methoxyestradiol on the proliferation of K562 and K562/AO2 cells were observed by MTT assay. Annexin V-FITC /PI staining was used to detect apoptosis. Results The resistance of K562/AO2 cells to ADR was 50 folds compared with K562 cells. The  $IC_{50}$  of ADR was evidently reduced by 2-methoxyestradiol. The reversal folds of 2-methoxyestradiol for K562/AO2 cells were 5.9. The result of Annexin-V /PI staining showed that rates of the apoptotic cells were 10.32%, 21.56% and 16.45% respectively, which were remarkably higher than that of control (6.68%). Conclusion 2-methoxyestradiol has reverse effect on K562/AO2 cells, its possible mechanism might be related with apoptosis of K562/AO2 cells.

**Key words:** 2-methoxyestradiol ; K562/AO2 cells; Apoptosis

**摘要:** 目的 研究 2-甲氧基雌二醇(2-ME)对 K562/AO2 细胞耐药性逆转作用及其可能机制。方法 利用不同浓度的 2-ME 作用于 K562 及 K562/AO2 细胞, MTT 法检测细胞对阿霉素的耐药性, 计算耐药倍数及逆转倍数; 利用 AnnexinV /PI 双染色法检测 K562/AO2 细胞的凋亡效应。结果 与 K562 细胞相比, K562/AO2 细胞的耐药倍数为 50 倍; 2-ME 可显著降低阿霉素对 K562/AO2 细胞的  $IC_{50}$ , 逆转倍数为 5.9 倍。AnnexinV /PI 双染色法检测显示, 1、4、16  $\mu$ mol/L 的 2-ME 处理 K562/AO2 细胞后细胞凋亡率分别为 10.32%、21.56% 和 16.45%, 而对照组凋亡率仅为 6.68%。结论 2-ME 能够逆转 K562/AO2 阿霉素耐药, 其机制可能与诱导 K562/AO2 细胞凋亡有关。

**关键词:** 2-甲氧基雌二醇; K562/AO2 细胞; 细胞凋亡

中图分类号: R733.7 文献标识码: A 文章编号: 1000-8578(2011)11-1257-03

## 0 引言

2-甲氧基雌二醇(2-methoxyestradiol, 2-ME)是 17 $\beta$ -雌二醇在体内的生理代谢产物, 具有诱导肿瘤细胞凋亡和分化、抗肿瘤血管新生等作用。已有研究显示 2-ME 对人慢性粒细胞白血病急性红白血病变细胞株 K562 细胞有诱导凋亡作用, 但是 2-ME 是否能够逆转阿霉素耐药的细胞株 K562/AO2 细胞耐药及其机制目前尚不清楚。本实验以耐阿霉素的 K562 细胞为研究对象, 探讨 2-ME 逆转 K562/AO2 细胞阿霉素耐药作用及其可能机制。

## 1 材料和方法

### 1.1 主要试剂

2-ME 购自 Sigma 公司, 阿霉素(ADR)购自浙江海正药业公司, 标准胎牛血清购自杭州四季青公司, RPMI1640 购自 Gibco 公司, Annexin V/PI 细胞凋亡检测试剂盒购自美国 Becton Dickinson 公司。

### 1.2 细胞株及培养

K562 及 K562/AO2 细胞均用 RPMI1640 培养液(含 10% 小牛血清、链霉素 100  $\mu$ g/ml 及青霉素 100 U/ml), 在 37°C、5%CO<sub>2</sub>、100% 湿度培养箱中培养。其中 K562/AO2 细胞在培养过程中加用 1  $\mu$ g/ml 阿霉素维持耐药性, 实验前 2 周在无阿霉素的培养液中培养。所有实验均取对数生长期细胞进行。

### 1.3 方法

#### 1.3.1 MTT 法检测 2-ME 对 K562/AO2 细胞生长的影响

收稿日期: 2010-12-22; 修回日期: 2011-05-18

基金项目: 西安交通大学医学院第一附属医院院基金资助项目(2007-YK-10)

作者单位: 710061 西安, 西安交通大学医学院第一附属医院血液科

作者简介: 王晓宁(1982-), 女, 硕士, 助理研究员, 主要从事恶性血液病的基础及临床研究

取对数生长期的 K562/AO2 细胞, 调细胞终浓度为  $2 \times 10^5$ /L, 按每孔 200  $\mu\text{l}$  接种于 96 孔板, 加入 2-ME 的浓度分别为 0.5、1、2、4、8、16  $\mu\text{mol/L}$ , 在 37 °C, 5% CO<sub>2</sub> 培养箱中孵育 24、48 和 72 h 后, 加入 MTT 20  $\mu\text{l}$ , 继续孵育 4 h, 离心弃上清液, 每孔加入二甲亚砜(DMSO) 200  $\mu\text{l}$ , 置振荡器上振荡 5 min, 用酶标仪测定 570 nm 波长的吸收值 A。计算 2-ME 的 IC<sub>50</sub> 及 IC<sub>10</sub>。

### 1.3.2 药物逆转试验

对数生长期细胞调整为  $2 \times 10^5$ /L, 按每孔 200  $\mu\text{l}$  置于 96 孔板中, 在 37 °C, 5% CO<sub>2</sub> 孵育 24 h, 离心去上清液, 加入 6 种倍增质量浓度的阿霉素(ADR)(K562/AO2:ADR 终质量浓度为 0.78、1.562、3.125、6.25、12.5、25 mg/L; K562:ADR 终质量浓度为 0.195、0.39、0.78、1.562、3.125、6.25 mg/L), 加入或不加入 2-ME (IC<sub>10</sub>), 并用异搏定 10  $\mu\text{mol/L}$  作为阳性对照, 在 37 °C, 5% CO<sub>2</sub> 孵育 72 h, 加入 MTT 20  $\mu\text{l}$ , 继续孵育 4 h, 离心弃上清液, 每孔加入 DMSO 200  $\mu\text{l}$  置振荡器上振荡 5 min, 用酶标仪测定吸收值 A。实验重复 3 次, 计算 K562/AO2、K562 的 ADR IC<sub>50</sub>, 并进一步求出耐药倍数与逆转倍数。耐药倍数 = 耐药细胞 IC<sub>50</sub>/敏感细胞 IC<sub>50</sub>; 逆转倍数 = 不加逆转剂的 IC<sub>50</sub>/加逆转剂的 IC<sub>50</sub>。

### 1.3.3 流式细胞仪检测细胞凋亡率

取对数生长期的 K562/AO2 调整细胞浓度为  $1 \times 10^5/\text{ml}$ , 不加或加入 1、4、16  $\mu\text{mol/L}$  的 2-ME。置 37 °C, 5% CO<sub>2</sub> 培养箱内孵育 72 h, 收集细胞, 用预冷的 1×PBS 洗 2 次, 每管用 1×binding buffer 把细胞浓度调整成  $1 \times 10^6/\text{ml}$ , 每管取 100  $\mu\text{l}$  加入 5  $\mu\text{l}$  的 AnnexinV-FITC 溶液进行染色, 轻轻混匀, 再加入 5  $\mu\text{l}$  的 PI 溶液染色, 双染后在室温下避光静止 15 min 后每管再加入 1×binding buffer 400  $\mu\text{l}$ , 在 1 h 内上流式细胞仪进行凋亡检测。凋亡细胞呈 AnnexinV/FITC+、PI+; 坏死细胞呈 AnnexinV/FITC-、PI+; 活细胞呈 AnnexinV/FITC-、PI-。每份标本设一个重复管, 重复 1 次, 计算凋亡细胞的百分数。

### 1.4 统计学方法

采用统计软件 SPSS13.0 对实验数据进行分析。组间分析采用 t 检验, P<0.05 为差异具有统计学意义。

## 2 结果

### 2.1 2-ME 对 K562/AO2 细胞生长的影响

检测结果显示, 2-ME 能够抑制 K562/AO2 细

胞的增殖, 呈浓度及时间依赖性, 但至 16  $\mu\text{mol/L}$  时细胞抑制率反而增加不明显, 2-ME 的 IC<sub>50</sub> 为 3.7  $\mu\text{mol/L}$ , IC<sub>10</sub> 为 0.2  $\mu\text{mol/L}$ , 见图 1。

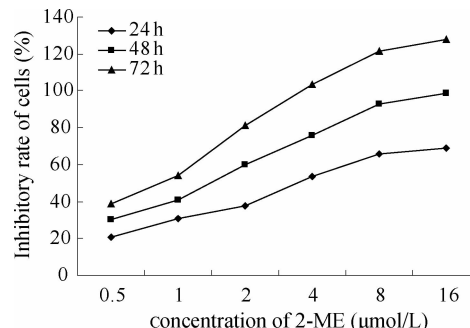


图 1 不同浓度 2-ME 对 K562/AO2 细胞作用 24、48、72 h 时的生长抑制的影响

Figure 1 Growth inhibition effect of different concentrations of 2-ME on K562/AO2 cells at 24, 48 and 72 hours

### 2.2 药物逆转试验结果

K562/AO2、K562 的 ADR IC<sub>50</sub> 分别为 28.10 mg/L、0.56 mg/L, K562 细胞阿霉素耐药倍数约为 50 倍, 逆转倍数 = 不加逆转剂的 IC<sub>50</sub>/加逆转剂的 IC<sub>50</sub> = 28.1/4.74 = 5.9, 见表 1、2。

表 1 不同浓度 ADR 时 2-ME 对 K562 细胞生长的影响( $\bar{x} \pm s$ )

Groups	-2-ME Absorbance (A)	+ 2-ME Absorbance (A)
Control	$0.68 \pm 0.06$	$0.98 \pm 0.07$
ADR		
0.195	$0.48 \pm 0.06$	$0.62 \pm 0.09$
0.39	$0.36 \pm 0.02$	$0.50 \pm 0.08$
0.78	$0.30 \pm 0.04$	$0.44 \pm 0.06$
1.562	$0.23 \pm 0.02$	$0.30 \pm 0.04$
3.125	$0.15 \pm 0.03$	$0.23 \pm 0.03$
6.25	$0.10 \pm 0.01$	$0.19 \pm 0.03$

Note: compared with control group, P<0.05

表 2 不同浓度 ADR 时 2-ME 对 K562/AO2 细胞生长的影响( $\bar{x} \pm s$ )

Groups	-2-ME Absorbance (A)	+ 2-ME Absorbance (A)
Control	$1.39 \pm 0.09$	$1.02 \pm 0.10$
ADR		
0.78	$1.24 \pm 0.06$	$0.82 \pm 0.09$
1.562	$1.12 \pm 0.05$	$0.69 \pm 0.04$
3.125	$1.08 \pm 0.07$	$0.56 \pm 0.03$
6.25	$0.92 \pm 0.03$	$0.44 \pm 0.02$
12.5	$0.82 \pm 0.04$	$0.38 \pm 0.03$
25	$0.76 \pm 0.02$	$0.30 \pm 0.01$

Note: compared with control group, P<0.05

### 2.3 2-ME 对 K562/AO2 细胞凋亡率的影响

K562/AO2 细胞经 1、4、16  $\mu\text{mol/L}$  的 2-ME 作用 72 h 后流式细胞仪检测凋亡率。结果显示在一定浓度范围内 (1~4  $\mu\text{mol/L}$ ) 2-ME 诱导 K562/AO2 细胞凋亡的作用随浓度的增加而增强, 具有浓度依赖性, 但当 2-ME 浓度继续增加至 16  $\mu\text{mol/L}$  时诱导凋亡作用反而减弱, 见表 3。

**表 3 不同浓度 2-ME 诱导 K562/AO2 细胞的凋亡率(%, $\bar{x}\pm s$ )**

Groups	Apoptosis rate(%)
K562/AO2	6.68 ± 0.16
K562/AO2 + 2-ME(1 $\mu\text{mol/L}$ )	10.32 ± 0.28
K562/AO2 + 2-ME(4 $\mu\text{mol/L}$ )	21.56 ± 1.32
K562/AO2 + 2-ME(16 $\mu\text{mol/L}$ )	16.45 ± 1.56

### 3 讨论

2-甲氧基雌二醇作为一种雌二醇在体内的生理代谢产物, 近年来研究显示在体内外对于骨肉瘤、乳腺癌、前列腺癌、肝癌、直肠癌、胰腺癌等多种肿瘤均显示了良好的抗肿瘤活性, 而且治疗剂量下未引起动物骨髓粒细胞减少。目前已有研究显示 2-ME 在一定的浓度和作用时间范围内, 呈剂量-时间依赖形式抑制人慢性粒细胞白血病急性红白血病变细胞株 K562 细胞生长, 其机制可能是 2-ME 通过升高 bax/bcl-2 比值降低线粒体膜电位、促使细胞色素 C 释放入胞质、触发 K562 细胞的线粒体凋亡途径, 活化 Caspase-3, 导致 K562 细胞凋亡并抑制其增殖; 通过下调 bcr/abl mRNA 表达以阻断 PI3K /Akt 信号通路、抑制 SOD 及增加 ROS 水平等途径也参与了 K562 细胞凋亡过程<sup>[1-4]</sup>, 但当 2-ME 浓度至 16  $\mu\text{mol/L}$  时, K562 细胞出现坏死, 可能是由于较高浓度的 2-ME 产生细胞毒作用而直接杀死细胞所致, 与 2-ME 抑制骨髓瘤、前列腺癌细胞等的结果基本一致。另有研究指出, 2-ME 只对增生活跃的细胞有作用, 而对静止的、不分裂的细胞无作用, 因此为 2-ME 的临床应用提供了实验基础。K562/AO2

细胞株是耐阿霉素的 K562 细胞株, 研究发现麻黄碱、姜黄素、红霉素等能够逆转其多药耐药性。主要是通过诱导 K562/AO2 细胞凋亡及下调 K562/AO2 细胞膜糖蛋白 P170 的表达逆转其耐药性<sup>[5-6]</sup>。

本研究通过 MTT 法检测 2-ME 对 K562/AO2 细胞增殖活性的影响, 结果显示随着时间的延长, 2-ME 在一定浓度范围内, 能够抑制 K562/AO2 细胞增殖, 呈浓度时间依赖性, 但是 2-ME 浓度至 16  $\mu\text{mol/L}$  时, K562/AO2 细胞抑制率并未明显增加, 这与 2-ME 对 K562 细胞的作用相似, 可能与直接细胞毒性有关。进一步通过药物逆转试验发现, 2-ME 能够逆转 K562/AO2 细胞阿霉素耐药。为了进一步探讨 2-ME 逆转 K562/AO2 细胞阿霉素耐药的机制, 通过流式细胞仪检测细胞凋亡率, 显示 2-ME 能够诱导 K562/AO2 细胞凋亡, 提示逆转耐药机制可能与诱导细胞凋亡有关。是否有其他的机制参与尚需进一步试验证实。

综上所述, 2-ME 能够逆转 K562/AO2 细胞对阿霉素的抗药性, 与诱导 K562/AO2 细胞凋亡有关, 但详细的逆转耐药机制有待进一步深入研究。

### 参考文献:

- [1] 李栋梁, 潘陵. 2-甲氧基雌二醇对白血病细胞 K562 增生、凋亡及细胞周期的影响[J]. 白血病·淋巴瘤, 2007, 16(1): 26-29.
- [2] 李栋梁, 张静, 张文君, 等. 2-甲氧基雌二醇对慢性髓系白血病 K562 细胞 Caspase-3 及 Survivin 表达的影响[J]. 中国实验血液学杂志, 2009, 17(2): 335-339.
- [3] 张学亚, 战榕, 黄豪博, 等. 2-甲氧基雌二醇诱导 K562 细胞凋亡及其机制的研究[J]. 中国实验血液学杂志, 2009, 17(2): 340-344.
- [4] 张苏伟, 张俏忻, 吴映娥, 等. 2-甲氧基雌二醇对白血病细胞 K562 增殖、凋亡的作用及机制[J]. 中国药师, 2010, 13(2): 169-173.
- [5] 常宏宇, 潘凯丽, 马福成, 等. 姜黄素、红霉素逆转 K562/AO2 细胞多药耐药机制的研究[J]. 中华血液学杂志, 2006, 27(4): 254-259.
- [6] 茅俊卿, 张育, 顾健, 等. 麻黄碱逆转 K562/AO2 细胞多药耐药性的研究[J]. 中国医院药学杂志, 2007, 27(2): 156-159.

[编辑: 安凤; 校对: 周永红]